

## Радиационный контур повышенной мощности на ядерном реакторе ИРТ в Тбилиси

Д. Н. КИКНАДЗЕ, Э. Л. АНДРОНИКАШВИЛИ, В. С. БЕДБЕНОВ, И. А. ГАССИЕВ,  
Д. В. ЗАКОМОРНЫЙ, Д. М. ЗАХАРОВ, Б. И. ЛИТВИНОВ, Р. Б. ЛЮДВИГОВ,  
Д. О. МКРТИЧЯН, И. А. НАТАЛЕНКО, Л. И. ФЕЛЬДМАН

УДК 621.039.573

В 1963 г. на ядерном реакторе Института физики Академии наук Грузии ССР был введен в строй первый индий-галлиевый радиационный контур погружного типа РК-П [1]. Эксплуатация этой установки в течение  $\sim 30\ 000$  ч подтвердила ее высокую надежность и удобство [2].

В 1967 г. в связи с реконструкцией реактора радиационный контур был демонтирован. Вся операция по демонтажу контура заняла 5–6 ч. Радиационная обстановка не представляла при этом опасности для обслуживающего персонала.

После реконструкции реактора и увеличения его мощности до 4–5 Мвт [3–5] было начато создание модернизированного радиационного контура РК-ПМ, конструкция которого велось на тех же конструктивных принципах.

Новый контур был создан к концу 1968 г. и выведен в радиационный режим в январе 1969 г. В качестве уносителя в нем вновь использован бинарный индий-галлиевый сплав эвтектической концентрации [6]. Контакт сплава с кислородом атмосферы предотвращается подушкой из инертного газа.

Схема установки представлена на рис. 1, а общая — на рис. 2. Элементы схемы объединены в следующие четыре основных конструктивных блока.

1. Генератор активности, представляющий собой многослойную систему разветвляющихся щелевых толщиной 3 мм и поперечными размерами 400–500 мм, связанных общими коллекторами [6]. Слои разделяются графитовыми блоками толщиной 40 мм. Кожух генератора и щелевые каналы выполнены из титана.

Выбор такой конструкции связан с возможностью полной утилизации нейтронов утечки реактора и с возможностью увеличения коэффициента самоизмножения нейтронов в многослойных системах [7, 8].

Общий объем сплава в генераторе активности составляет 1 м<sup>3</sup>. В верхней и центральной части генератора активности, в титановых карманах, вмонтированных в графитовые блоки, установлены два термометра измерения.

Под генератором активности и подводящими коммуникациями на случай аварийной утечки сплава имеется защитный поддон из стали 1Х18Н9Т.

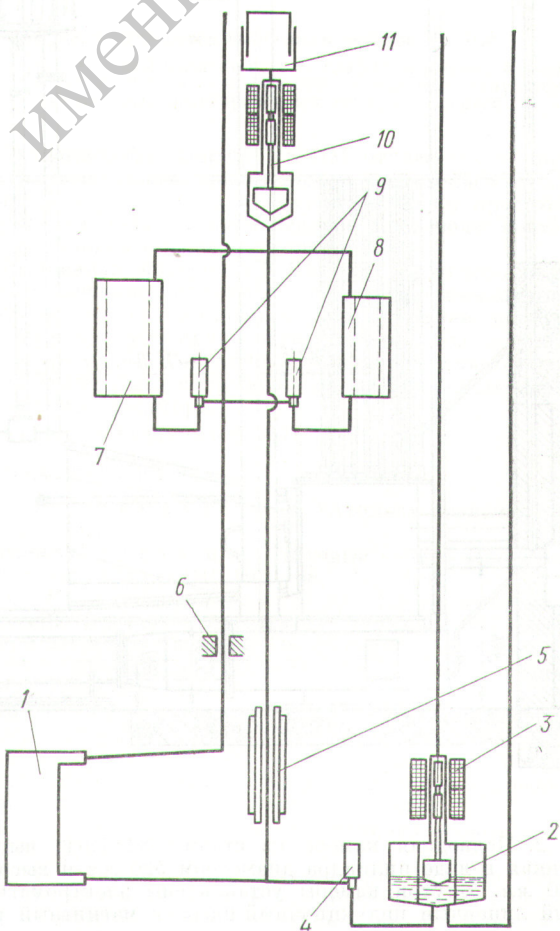
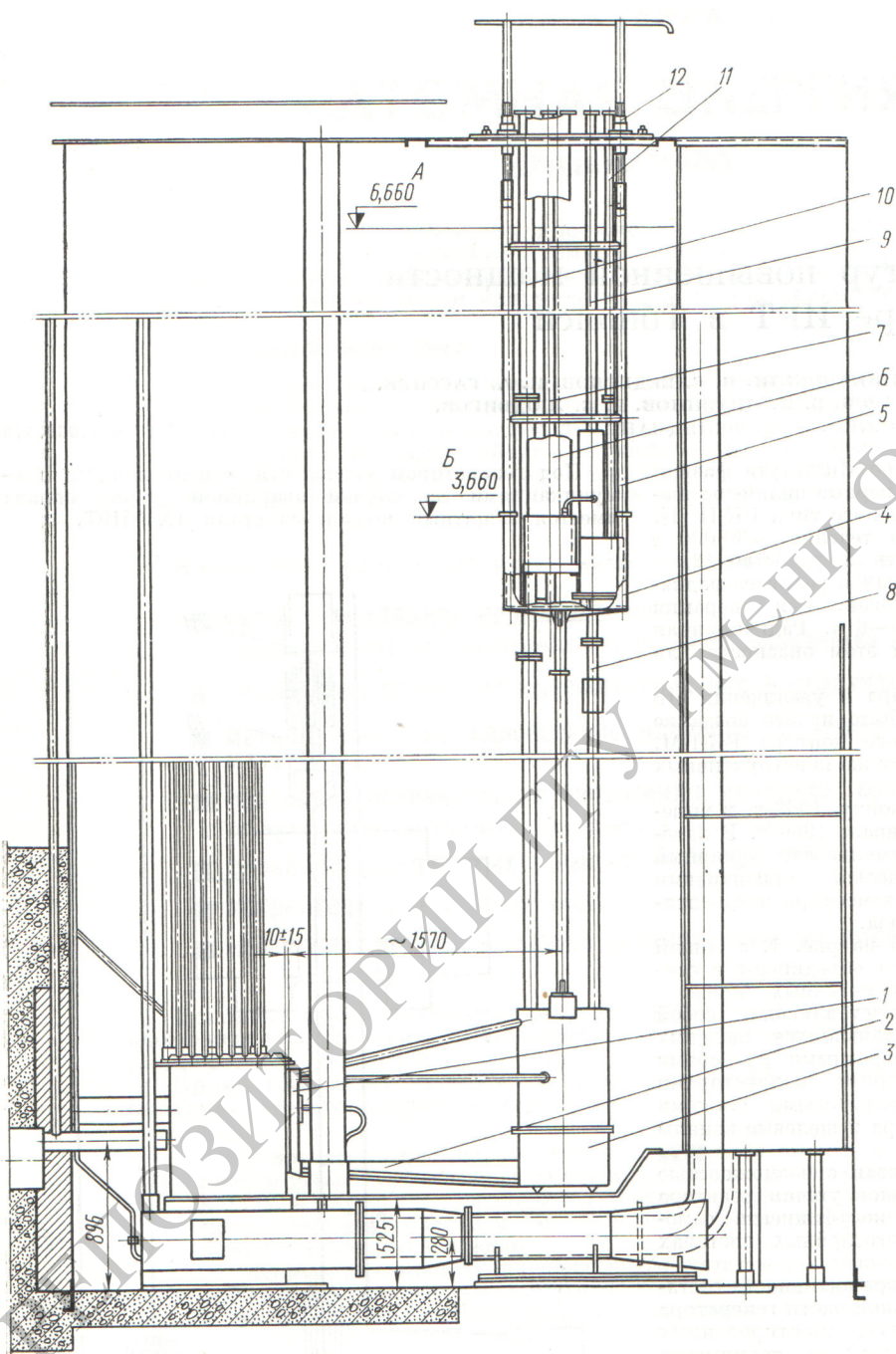


Рис. 1. Принципиальная схема контура РК-ПМ:  
1 — генератор активности; 2 — сливной бак; 3, 10 — поплавковые термометры; 4, 9 — вентили; 5 — электромагнитный индукционный насос; 6 — электромагнитный расходомер; 7, 8 — щелевые и юльский облучатели; 11 — газгольдер.

Рис. 2. Общий вид контура РК-ПМ:



2. Подводная камера из стали 1Х18Н9Т, выполненная в виде цилиндра диаметром 520 мм и высотой 800 мм. Внутри камеры установлены электромагнитный линейный индукционный насос и магнитный расходомер, полностью идентичные ранее использовавшимся в контуре РК-П. Здесь же расположжен сливной

бак емкостью 15 л, выполненный из стали 1Х18Н9Т, оснащенный поплавковым уровнемером с дифференциально-трансформаторным датчиком. Рабочий регистрируемый ход поплавка датчика (50 мм) контролирует верхнюю половину емкости бака и позволяет проследить полноту слива  $\gamma$ -носителя из коммуника-

ной конструкции. Слив осуществляется с помощью запорного вентиля, также расположенного в подводной камере.

3. Система двух облучателей, запорные вентили и поплавковый уровнемер расположены на жестком поддоне, который связан с нижней частью установки четырьмя трубами-стойками. Последние являются коммуникационно и технологическими линиями, в которых проходит коммуникации контура, электрические кабели и даже дистанционного управления вентилем. Облучатели выполнены в виде полых цилиндров, между которыми по антоворой магистрали протекает сплав. Вентили позволяют включать в циркуляционную систему облучателей или оба одновременно. Облучатели снабжены центральными и периферийными вентилями для проведения облучений в поле чистого гамма-излучения и дозиметрического контроля за мощностью гамма-излучения установки.

Поплавковый уровнемер, расположенный в верхней части циркуляционной системы, позволяет измерять количество  $\gamma$ -носителя в системе и надежно регистрировать случаи аварийной утечки сплава с чувствительностью до  $20 \text{ см}^3$ .

4. Верхняя опорная площадка с подвесной системой труб, которые создают жесткую ферму, связывающую все перечисленные выше блоки в единую конструкцию. На верхней опорной площадке закреплены облучатели радиационного контура и каналы дистанционного управления вентилями. Система регулировочных винтов опорной площадки позволяет точно установить генератор активности относительно границ активной зоны реактора ИРТ [9].

Пульт управления контуром выполнен в виде мнемосхемы контура, что позволяет обслуживающему персоналу наиболее оперативно получать информацию о работе установки.

Приборы, установленные на пульте, обеспечивают измерение температуры в генераторе активности и канала радиационного насоса, уровня индий-галлиевого сплава в циркуляционной системе и сливном баке, мощности индукционного насоса, расхода  $\gamma$ -носителя в процессе его циркуляции и мощности дозы в облучателях.

Схема аварийной и предупредительной сигнализации (транзисторах) обеспечивает подачу звукового сигнала и включение соответствующей лампочки на мнемосхеме контура при повышении температуры, снижении расхода, утечке инертного газа, выходе из строя циркуляционного насоса и снижении уровня сплава. Мощность дозы  $\gamma$ -излучения в центре большого облучателя контура составляет  $\sim 400 \text{ р/сек}$ ; малого облучателя —  $\sim 60000 \text{ р-экв Ra/Mвт}$ . Рабочий расход  $\gamma$ -носителя —  $10 \text{ л/сек}$ , время одного периода циркуляции —  $10 \text{ мин}$ . Температура  $\gamma$ -носителя достигает максимальных значений в генераторе активности: мощности реактора  $1 \text{ Мвт}$  и  $155^\circ\text{C}$  при мощности  $1 \text{ Мвт}$ . Полный объем  $\gamma$ -носителя составляет  $10 \text{ л}$ , из которых, как указывалось,  $2,6 \text{ л}$  — в генераторе активности,  $7,5 \text{ л}$  — в большом облучателе,  $0,5 \text{ л}$  — в малом облучателе и  $0,5 \text{ л}$  — в коммуникациях.

Номинальная радиационная мощность РК-ПМ, определенная при тепловой мощности реактора ИРТ  $1 \text{ Мвт}$ , составила  $300000 \text{ г-экв Ra}$ .

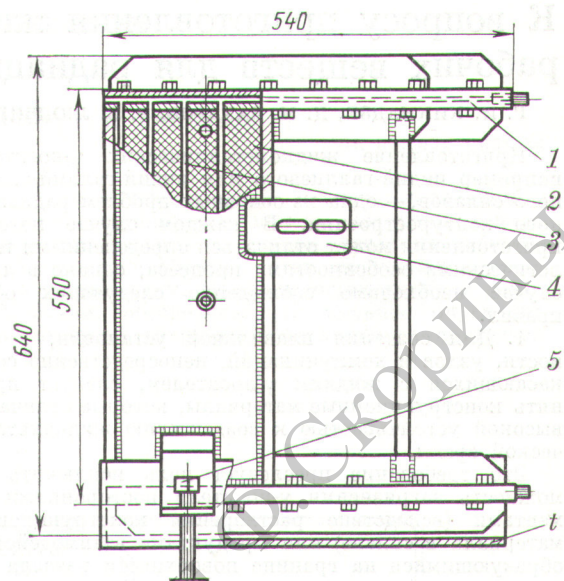


Рис. 3. Генератор активности контура РК-ПМ:

1 — верхний коллектор; 2 — графитовый блок; 3 — щелевой канал; 4 — кронштейн крепления генератора; 5 — опорный регулировочный винт; 6 — поддон.

Радиационный контур РК-ПМ отличается от предыдущего не только значительным увеличением радиационной мощности, но и компактностью и простотой сборки. Бригада из пяти человек произвела монтаж всей установки в баке реактора за 8 ч.

В каналах контура РК-ПМ уже проведено большое количество облучений с полупромышленными и исследовательскими целями. Ввод в действие контура значительно расширил экспериментальные возможности реактора. Радиационные контуры такого типа легко могут быть сооружены на любом действующем бассейновом реакторе.

Поступило в Редакцию 6/VIII 1970 г.

#### ЛИТЕРАТУРА

- Г. И. Кикнадзе и др. «Атомная энергия», 19, 176 (1965).
- Е. Д. Чистов и др. Научные работы Института охраны труда ВЦСПС, 48, 42, 1967.
- Ш. П. Абрамидзе и др. Труды юбилейной сессии Института Физики АН Груз.ССР, посвященной 50-летию Великой Октябрьской социалистической революции (Тбилиси, 1968). Ин-т физики АН ГрузССР, 1969.
- Ш. П. Абрамидзе и др. «Атомная энергия», 27, 547 (1959).
- Ш. П. Абрамидзе и др. Доклад на V Международном совещании по физике и технике исследовательских реакторов (Варшава, 1968).
- Г. И. Кикнадзе и др. «Атомная энергия», 19, 178 (1965).
- Г. И. Кикнадзе. Диссертация. Тбилиси, 1968.
- Г. И. Кикнадзе и др. Доклад на IV Рабочем совещании по физике и технике исследовательских реакторов. (Будапешт, 1965).
- В. Н. Чернышевич и др. См. [5].